# **ALI - Applications**

Prérequis théoriques : ALI Amplificateur intégré

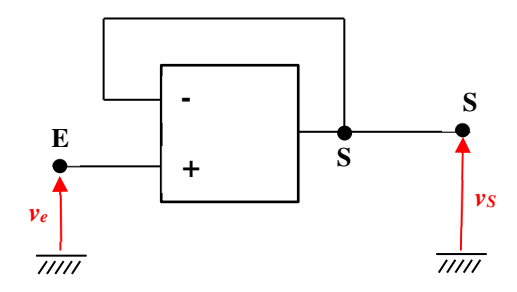
Prérequis pratiques : Générateur Basse Fréquence Rigol, Oscilloscope Keysight, Plaques d'essais

### Régime linéaire - Amplificateurs



# Montage suiveur - Tester le fonctionnement d'un ALI

Le montage utilisé pour vérifier qu'un ALI fonctionne est le *montage suiveur* :



#### Remarques

- > Le GBF n'est jamais indiqué sur ce type de schéma mais c'est bien entendu lui qui *impose la tension v<sub>e</sub>* (exceptionnellement, ajouter le GBF sur ce schéma).
- On visualise systématiquement les tensions d'entrée  $(v_e)$  et de sortie  $(v_S)$  à *l'oscilloscope* ( $v_e$  en voie 1 et  $v_s$  en voie 2). Ajouter les 2 voies de l'oscilloscope sur ce schéma.

### Etude théorique (ALI idéal en régime linéaire)

- Placer la tension différentielle d'entrée  $\varepsilon$  sur ce schéma (en indiquant sa valeur).
- Quelles sont les valeurs (d'après le schéma) des tensions  $U_{\rm EM}$  et  $U_{\rm SM}$ ?
- En déduire les valeurs des potentiels  $V_{\rm E}$  et  $V_{\rm S}$ .
- Quelle(s) relation(s) existe(nt) entre les potentiels des points E, E<sub>+</sub> , E<sub>-</sub> et S ? Justifier.
- En déduire la relation entre  $v_s$  et  $v_e$ .

# Fonction de transfert $\underline{H} = \underline{v}_S / \underline{v}_e$ du montage suiveur :

### Etude expérimentale

 $v_e(t)$  sinusoïdale (quelques volts en amplitude sans offset aux environs de 1 kHz).  $v_S(t)$  et  $v_e(t)$  visualisées à l'oscilloscope respectivement en voie 2 (ou voie Y) et en voie 1 (voie X) avec des sensibilités identiques sur les deux voies.

Déterminer expérimentalement  $H = H e^{j\phi}$ :

- ✓ H et  $\varphi$  en mode balayage (courbes  $v_s(t)$  et  $v_e(t)$ );
- ✓ H en mode XY (courbe  $v_S(v_e)$ ).

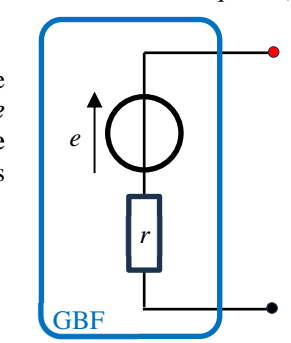
### **Montage suiveur - Isolation**

### Objectifs **\langle**:

- ✓ Connaître le modèle de Thévenin du GBF.
- Retenir les ordres de grandeur de la résistance interne du GBF de la résistance d'entrée de l'oscilloscope et connaître les conséquences de ces valeurs quant aux mesures et au choix des composants (gamme des valeurs des résistances usuelles en électronique).
- Connaître la fonction d'isolation réalisée par le montage suiveur.
- Savoir identifier et distinguer  $U_{\rm m}$ ,  $U_{\rm e}$  et  $U_{\rm cc} = U_{\rm pp}$  (cf. doc. Générateur Basse Fréquence).

#### Illustration de l'isolation

On admet qu'un GBF est modélisable par un générateur de Thévenin, c'est-à-dire par une source idéale de tension de **f.e.m** e (réglable en amplitude, fréquence...) en série avec une résistance  $r = 50 \Omega$  (valeur normalisée, visible en façade du GBF mais certains GBF présentent des valeurs sensiblement différentes).



Le GBF délivre une tension sinusoïdale à 1 kHz.

Expérience 1 : réglage de l'amplitude de la f.e.m  $e_m$  « à vide »

- Régler l'amplitude du GBF à  $e_m = 1V$  (bornes du GBF reliées à aucun circuit).
- Brancher l'oscilloscope, de résistance interne  $R_{\text{oscillo}} = 1 \text{ M}\Omega$  (valeur visible en façade), aux bornes du GBF.

Noter la valeur  $(U_{\rm m})_{\rm oscillo}$  (mesures automatiques ou lecture sur l'écran).

L'amplitude mesurée par l'oscilloscope est-elle compatible avec la valeur réglée sur le GBF ? En conséquence, l'oscilloscope introduit-il une perturbation dans la mesure de  $e_{\rm m}$ ?

Modéliser le circuit (recopier et compléter le schéma du GBF ci-contre) : GBF modélisé par Thévenin et oscilloscope modélisé par Roscillo.

En déduire l'expression de l'amplitude  $U_{\rm m}$  de la tension aux bornes du GBF en fonction de  $e_{\rm m}$ , r et  $R_{\rm oscillo}$ .

Faire l'application numérique.

Est-il indispensable de modéliser l'oscilloscope par la résistance de 1  $M\Omega$  ? Autrement dit, peut-on se dispenser de représenter cette résistance ?

### Expérience 2 : mesure de r

- Sans rien changer au montage précédent, placer une résistance variable R (boîte à décades initialement réglée à sa valeur maximum) entre les bornes du GBF (cette résistance modélise un dipôle connecté aux bornes du générateur).
- Faire varier cette résistance jusqu'à obtenir  $u_{\rm m} = e_{\rm m}/2$  (amplitude aux bornes du GBF égale à la moitié de la valeur initiale).

Noter alors la valeur de (R)Boîte à décades.

Modéliser le montage comme précédemment avec la résistance R.

Est-il nécessaire de modéliser l'oscilloscope par une résistance avec la résistance variable disponible?

En déduire l'expression (R)<sub>Calculée</sub> en fonction de r lorsque  $u_m = e_m/2$ .

Pour quelles valeurs de R devient-il indispensable de modéliser l'oscilloscope par sa résistance interne?

Conclusion expérience 2 - Cette baisse de la tension délivrée par le GBF est un inconvénient.

Déduire de ces résultats un *critère* quant à la valeur que doit posséder la résistance (l'impédance) d'entrée *R* d'un dipôle connecté au GFB par rapport à la résistance interne *r* de celui-ci.

Déduire de ces manipulations une *méthode de mesure* de la résistance interne *r* du GBF.

#### *Expérience 3* : isolation

• Enlever la résistance R du montage précédent, placer le suiveur en sortie du GBF et placer la résistance R réglée à 200  $\Omega$  en sortie du suiveur.

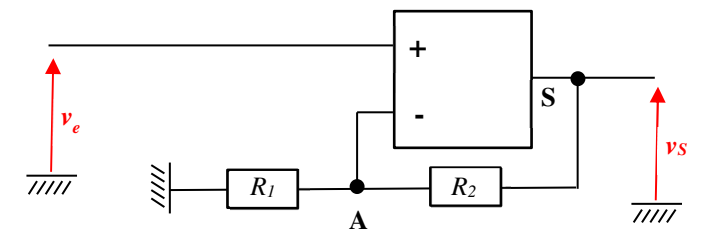
Que vaut l'amplitude  $u'_{\rm m}$  de la tension aux bornes de la résistance R? Que peut-on dire de la tension  $u'_{\rm m}$  par rapport à  $e_{\rm m}$ ?

#### Conclusion expérience 3

En conséquence, comment peut-on modéliser l'association {GBF + suiveur}?

Cette conclusion n'est plus valable lorsque l'amplitude de  $e_m$  augmente trop (saturation en tension de l'ALI) ou lorsque la valeur de R est trop faible (l'intensité délivrée par un ALI est limitée par conception afin d'éviter sa destruction, on parle de saturation en courant).

# Montage amplificateur (non inverseur)



#### Etude théorique

Etablir l'expression de la fonction de transfert en fonction de  $R_1$  et  $R_2$ .

Fonction de transfert  $\underline{H} = \underline{v}_S / \underline{v}_e$  du montage amplificateur (non inverseur) :

### Etude expérimentale

 $R_1 = 1 \text{ k}\Omega$ ,  $R_2 = 10 \text{ k}\Omega$  (ou valeurs proches).

1/ Régime linéaire : amplitude  $v_{em} = 1$  V

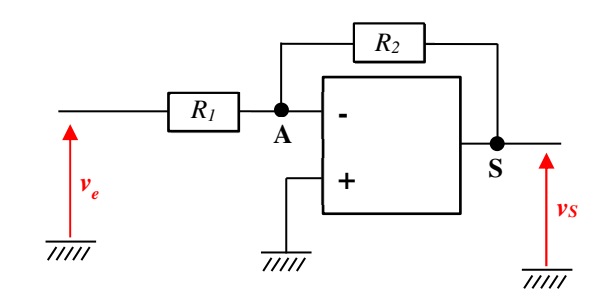
Déterminer expérimentalement  $\underline{H} = H e^{j\phi}$  comme précédemment.

2/ Régime non linéaire : amplitude  $v_{em} = 2$  V

Visualiser le phénomène de *saturation* de l'ALI en mode balayage et en mode XY : évaluer les tension  $V_{sat+}$  et  $V_{sat-}$  (les faire figurer sur des copies d'écran ou des schémas).



(titre à compléter)



#### Etude théorique

Etablir l'expression de la fonction de transfert en fonction de  $R_1$  et  $R_2$ .

Fonction de transfert  $H = v_S / v_e$  du montage

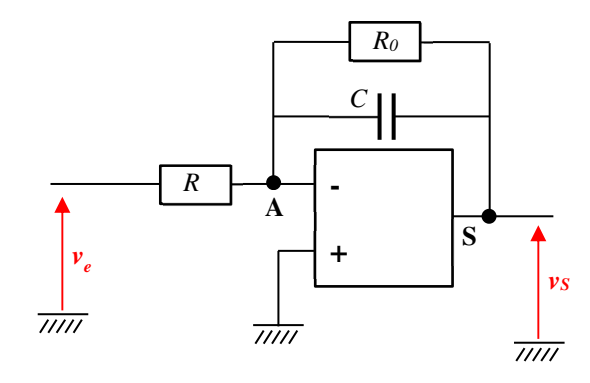
### Etude expérimentale

Valeurs :  $R_1 = R_2 = 10 \text{ k}\Omega$  (ou valeur proche).

Observer  $v_S$  et  $v_e$  et conclure (relation entre  $v_S$  et  $v_e$ ).

### Régime linéaire - Opérateurs

Montage (titre à compléter)



# Etude théorique

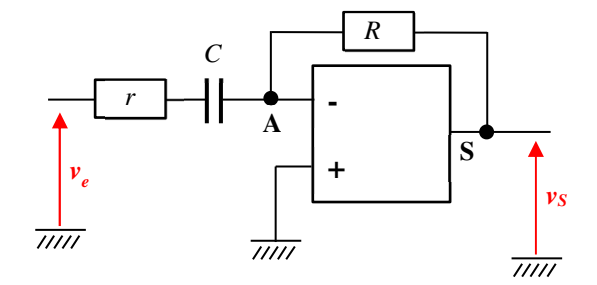
Etablir l'expression de la fonction de transfert <u>théorique</u> en supposant  $R_0$  infinie (absente).

### Etude expérimentale

Valeurs :  $R = 2 \text{ k}\Omega$  (ou valeur proche),  $R_0 = 100 \text{ k}\Omega$  et  $C = 0.1 \mu\text{F}$ 

- 1. Réglage  $n^{\circ}1$ : GBF voie 1: carrée, fréquence 1 kHz Observer  $v_S$  et  $v_e$  et conclure (relation entre  $v_S$  et  $v_e$ ). Sauvegarder un chronogramme (latispro).
- 2. Réglage n°2 : GBF voie 1 : sinusoïdale, fréquence 1 kHz Mesurer la phase de  $v_S$  par rapport à  $v_e$  à l'oscilloscope ( $\phi_{2/1}$ ).

Montage (titre à compléter)



#### Etude théorique

Etablir l'expression de la fonction de transfert <u>théorique</u> en supposant *r* nulle (fil).

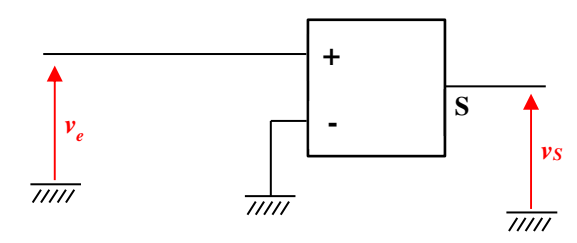
#### Etude expérimentale

Valeurs :  $R = 10 \text{ k}\Omega$  (ou valeur proche),  $r = 100 \Omega$  et C = 0,1  $\mu$ F

- 1. Réglage n°1 : GBF voie 1 : triangle, fréquence, 500 Hz Observer  $v_S$  et  $v_e$  et conclure (relation entre  $v_S$  et  $v_e$ ). Sauvegarder un chronogramme (latispro).
- 2. Réglage  $n^{\circ}2$ : GBF voie 1 : sinusoïdale, fréquence 1 kHz Mesurer la phase de  $\nu_S$  par rapport à  $\nu_e$  à l'oscilloscope ( $\phi_{2/1}$ ).
- 3. Réglage n°3 : GBF voie 1 : carrée, fréquence, 50 Hz Observer  $v_S$  et  $v_e$  et interpréter.

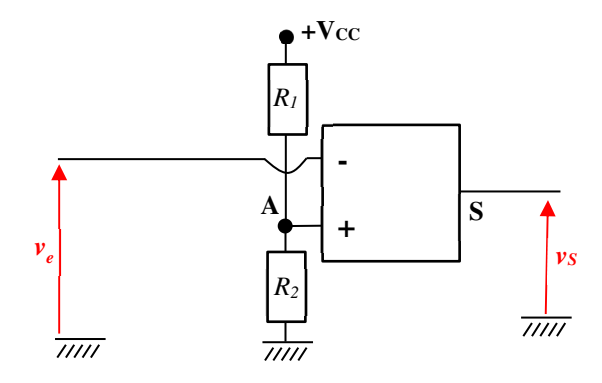
# Régime NON linéaire - Comparateurs

### Montage comparateur n°1



Observer  $v_S$  et  $v_e$  (chronogramme et mode XY) et conclure quant à la relation entre  $v_S$  et  $v_e$ . Justifier l'appellation « comparateur ».

### Montage comparateur n°2



 $R_1 = R_2 = 10 \text{ k}\Omega$  (ou valeur proche). Valeurs:

Exprimer le potentiel  $V_+$  en fonction des résistances et de la tension d'alimentation  $V_{CC}$ Observer  $v_S$  et  $v_e$  (chronogramme et mode XY) et conclure (relation entre  $v_S$  et  $v_e$ ).

# **Application – Alarme lumineuse**

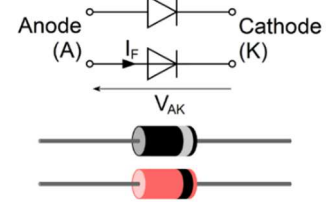
Une *photorésistance* est un résistor dont la résistance varie en fonction de l'intensité lumineuse recue ; le vérifier en utilisant un ohmmètre.





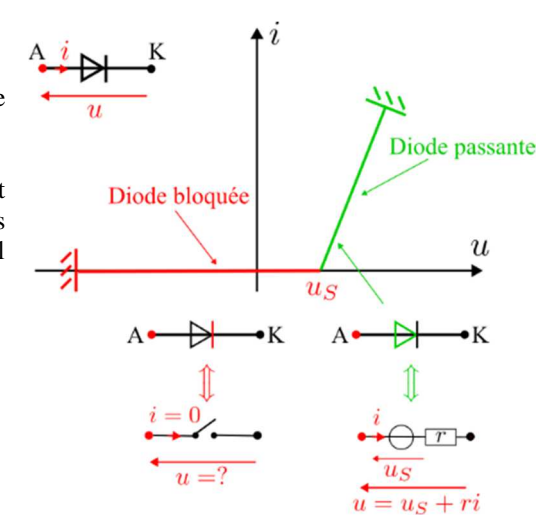
Noter l'ordre de grandeur des résistances dans l'obscurité (placer un doigt sur le composant) et en pleine lumière.

Une diode est un dipôle non-linéaire et non-symétrique. Rq: I<sub>F</sub> (F pour forward) est appelé courant direct parfois noté  $I_D$ .



La diode possède deux régimes fonctionnement : bloqué et passant.

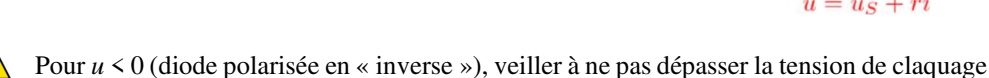
Ces régimes de fonctionnement dépendent de la valeur de la **tension**  $u = V_{AK}$  aux bornes de la diode par rapport à la tension de seuil caractéristique de la diode.



Diode bloquée (reverse):

 $0 \le u \le V_S$  (tension de seuil)  $\Leftrightarrow i = 0$ 

Diode passante (forward):  $u \ge V_S$  (tension de seuil)  $\Leftrightarrow i > 0$ 



sous peine de destruction de la diode.

### Test d'une diode au multimètre

En mode testeur de diode, suivant le sens de la diode entre les bornes du multimètre, celui-ci indique:

- soit la **tension de seuil** Vs en V (de l'ordre de 0,6 V pour une diode dite de signal);
- soit « O.L. » (overlay = dépassement de capacité en raison d'une résistance infinie ce qui signifie que la diode est bloquée).



⚠ Une diode électroluminescente ou LED usuelle supporte quelques dizaines de mA.

**%** Tester les diodes fournies.

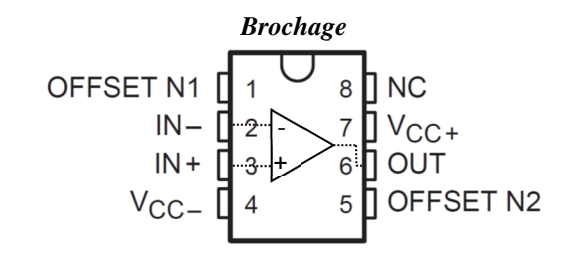
# **Alarme de détection de lumière**

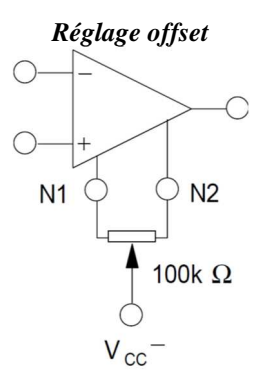
A l'aide d'une photorésistance, de deux LED de couleurs différentes (rouge/verte) et en s'inspirant du montage comparateur n°2, concevoir une alarme qui détecte la présence de lumière : la diode verte est allumée (diode rouge éteinte) tant que le détecteur reste dans l'obscurité tandis que la diode rouge s'allume en présence de lumière (diode verte éteinte).

### ANNEXE - Réglage offset (uniquement si nécessaire)

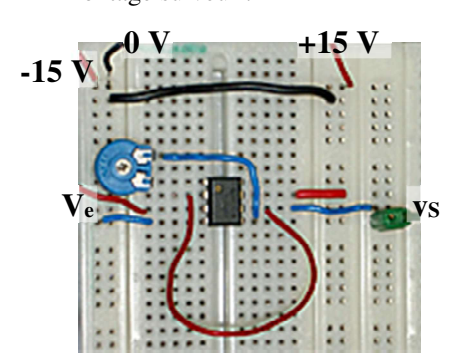
Avec un montage suiveur, si on observe une tension non nulle lorsque la tension d'entrée est nulle (valeurs à contrôler avec des sensibilités adaptées à l'oscilloscope), il faut procéder à un réglage de tension d'offset (compensation d'une tension continue de faible valeur délivrée par l'ALI qui peut être très gênante dans certaines applications).

Moteur de recherche : datasheet TL081 (référence inscrite sur le composant). https://www.datasheetcatalog.com/datasheets\_pdf/T/L/0/8/TL081.shtml





### Montage suiveur:



- Oscillo : régler soigneusement les zéros en mode XY.
- GBF : amplitude très faible.
- Réglage : agir sur le potentiomètre pour que la caractéristique passe par (0, 0).

